

بررسی کانی سازی اسکارن مزرعه، شمال اهر، با تأکید بر مطالعه میانبارهای شاری

مهدی غارسی^{*}، ایرج رسا، محمد یزدی

گروه زمین‌شناسی، دانشکده علوم زمین، دانشگاه شهید بهشتی

(دریافت مقاله: ۹۶/۱/۲۷، نسخه نهایی: ۹۶/۵/۱۸)

چکیده: کانسار اسکارن مزرعه در کمربند فلززایی قفقاز کوچک - البرز غربی بر اثر تزریق توده گرانیتوبیدی شیوردادغ به سن اولیگومیوسن به درون مجموعه کربناته، آتشفسانی قدیمی‌تر و به شکل برون اسکارن گارنت - اپیدوت‌دار ایجاد شده است. ترکیب کانی‌شناسی فلزی شامل مگنتیت، پیریت، کالکوپیریت، بورنیت، کوولیت، هماتیت، گوتیت و ملاکیت است و بیشتر کانه‌زایی در مرحله اسکارن پسروندۀ ایجاد شده است. نتایج تجزیه عناصر فرعی نشانگر تاثیر شاره‌های با خاستگاه پوسته بر توده نفوذی طی فرآیندهای اسکارن زایی است. در کانی‌های کوارتز و کلسیت نمونه‌های اسکارن دو دسته شاره درگیر نوع (L+V) با شوری کم تا متوسط ۱/۵۷ تا ۱/۷۹ درصد وزنی نمک) و گستره دمای همگن‌شدگی ۱۲۰ تا ۳۵۶ درجه و نوع (L+V+S) با شوری زیاد ۳۲/۰۶ تا ۴۱/۷۷ درصد وزنی نمک) و گستره دمای همگن‌شدگی ۲۲۷ تا ۳۷۵ درجه سانتی‌گراد دیده می‌شوند که هر دو در مرحله اسکارن پسروندۀ ایجاد شده‌اند. خاستگاه میانبارهای شاره‌ای نوع (L+V+S) به ترتیب شاره‌های دگرگونی و ترکیب ماقمایی - سورابه‌های سطحی هستند. دو فرآیند آمیختگی هم‌دمای شاره‌های با شوری مختلف و رقیق‌شدگی سطحی شاره‌ها بر اثر مخلوط شدن آبهای جوی با شاره‌های ماقمایی- دگرگونی عوامل اصلی تکوین شاره‌های کانه‌ساز هستند. فشار شاره در زمان تشکیل کانسنج در حدود ۱۰۰ بار و دمای تقریبی بین ۳۴۰ تا ۲۵۰ درجه سانتی‌گراد بوده است و بر این اساس می‌توان کانسار اسکارن مزرعه را با ژرفای تشکیل ۳۵۰ تا ۴۰۰ متر نسبت به سطح ایستابی قدیمی، به عنوان یک کانسار اسکارن کم ژرف معرفی کرد.

واژه‌های کلیدی: کمربند فلززایی قفقاز کوچک - البرز غربی؛ اسکارن؛ میانبارهای شاری؛ ریزدماسنجدی.

اطلاعات با ارزشی که پیرامون دما، فشار و عمق تشکیل کانسار و خاستگاه و تحولات روی داده در شاره‌های کانه‌ساز می‌دهد، بسیار مهم و در خور توجه است. بررسی میانبارهای شاری در بسیاری از اسکارن‌های دنیا دمای همگن‌شدگی شاره‌ها را بین ۱۰ تا ۶۵۰ درجه سانتی‌گراد و میانگین شوری را معادل ۱۰ تا ۴۵ درصد وزنی کلرید سدیم نشان می‌دهد [۵]. همچنین جوشش شاره‌ها در بخش بالایی سیستم کانه‌زایی از ویژگی‌های مهم شاره‌ها در کانسارهای اسکارن است [۶,۵]. در این پژوهش سعی شده است تا بر اساس بررسی میانبارهای شاری، ویژگی‌های شاره‌های عامل تشکیل اسکارن و نیز شرایط دما- فشار در زمان تشکیل کانسار مزرعه تعیین گردد.

مقدمه

کانسار اسکارن مزرعه از جمله کانسارهای موجود در کمربند فلززایی قفقاز کوچک - البرز غربی است. این کمربند از کوه‌های قفقاز تا غرب رشته کوه البرز در ایران در ناحیه آذربایجان امتداد دارد [۲,۱] و دربردارنده کانسارهای اسکارن، پورفیری و فراگرمایی مس و مس- طلای مهمی به سن ترشیاری در ایران، ترکیه و ارمنستان است [۴,۳]. در چند سال اخیر با انجام حفاری‌های اکتشافی و مغزه‌گیری گستره‌ده توسط شرکت ملی مس ایران، امکان دسترسی به نمونه‌های زیرسطحی در این کانسار تا عمق ۳۰۰ متر و بررسی عمیق و گستره‌تر کانی- شناسی و زمین‌شیمیایی این منطقه فراهم شده است. در این میان بررسی میانبارهای شاری در کانسارهای اسکارن از نظر

*نویسنده مسئول، تلفن: ۰۹۱۷۷۱۰۵۴۹۴، پست الکترونیکی: mehdigharesi@gmail.com

گرانیتوبییدی به درون مجموعه آواری، کربناته، آتشفسانی میزبان آنها را به مجموعه دگرگونی شیست (بیوپیت - کلریت شیست)، هورنفلس و گارنت - اپیدوت اسکارن و نیز مرمر تبدیل کرده است [۷]. تشکیل هورنفلس در نزدیکی پهنه اسکارن می‌تواند ناشی از دگرگونی مجاورتی سنگ‌های آواری بر اثر تتریق توده گرانیتوبییدی به درون آن‌ها باشد [۱۵]. در کرانه توده بزرگ شیورdag، رخمنون‌های کوچکی از توده‌های کوارتز دیوریت تا مونزو دیوریت و رگه‌های سیلیسی دیده می‌شود. دایک‌های دیوریتی، گرانیتی و کوارتز مونزو دیوریتی نیز سنگ‌های قدیمی‌تر را قطع کرده‌اند [۱۶]. نهشته‌های میوسن و پلیوسن، در گستره مورد بررسی رخمنون ندارند ولی کواترنر با فعالیت چشمگیر آتشفسانی آغاز می‌شود. به طوری که امروزه آثار این فعالیت‌های آتشفسانی به شکل سنگ‌های بازالتی در اطراف معدن مزرعه دیده می‌شود.

سنگ نگاری و سنگ شناسی توده نفوذی

قسمت عمده سنگ‌های نفوذی گستره مورد بررسی را توده بزرگ گرانیتوبییدی شیورdag تشکیل می‌دهد که در یک روند شرقی - غربی به درون مجموعه کربناته - آواری - آتشفسانی نفوذ نموده و در تماس با بخش‌های کربناته باعث اسکارنی شدن و با بخش‌های آواری و آتشفسانی، باعث هورنفلسی شدن سنگ‌ها شده است. رگه‌های سیلیسی نیز در این توده دیده می‌شود که به نظر نتیجه فعالیت‌های پایانی محلول‌های گرمابی است. نمونه‌های گرانیتی این توده بیشتر رنگ خاکستری روشن تا قرمز روشن دارند و بلورهای شکل دار ارتوز در زمینه‌ای از کانی‌های فلدسپار و بیوپیت مشخص هستند. در بررسی‌های میکروسکوپی بافت دانه‌ای تا پورفیری دارند و درشت‌بلورهای ارتوز، پلاژیوکلاز و کوارتز بیشترین حجم سنگ را به خود اختصاص داده‌اند. کلینوپیروکسن، آمفیبیول و بیوپیت نیز با مقادیر کمتر در نمونه‌ها دیده می‌شوند. در برخی از مناطق، دگرسانی آرژیلی در توده گرانیتی دیده می‌شود و به نظر می‌رسد که این دگرسانی براثر عملکرد محلول‌های گرمابی ایجاد شده است. در مناطق نزدیک‌تر به پهنه کانه‌زایی نیز دگرسانی کلریتی فراگیر است. نمونه‌های گرانیتوبییدی از نظر ماقروسکوپیکی به رنگ خاکستری روشن تا متوسط دیده می‌شوند. با توجه به بررسی‌های میکروسکوپی این سنگ‌ها بافت پورفیری تا دانه‌ای دارند. پلاژیوکلاز، کوارتز، آمفیبیول و بیوپیت کانی‌های اصلی تشکیل‌دهنده سنگ هستند. با توجه به بررسی-

روش بررسی

پس از بررسی دقیق ۶۸۰۰ متر مغزه‌های حفاری از ۶۱ گمانه اکتشافی حفر شده در معدن مزرعه که در انبار مغزه شرکت ملی مس ایران در ورزقان نگهداری می‌شوند، در مجموع ۳۶ نمونه از ۲۱ گمانه انتخابی مساحت‌های مختلف شامل ۲۴ نمونه از توده نفوذی و ۱۸ نمونه اسکارن انتخاب شد و از میان آن‌ها ۴ نمونه از توده گرانیتی و ۱۸ نمونه اسکارن مورد تجزیه به روش ICP-OES XRF قرار گرفت و تعداد ۲۹ مقطع نازک (۲۱ عدد از توده نفوذی و ۸ عدد از نمونه‌های اسکارن) و ۲۳ مقطع صیقلی از نمونه‌های اسکارن جهت بررسی‌های کانی - شناسی و کانه‌نگاری تهیه شد. همچنین برای بررسی شاره‌های درگیر، تعداد ۷ مقطع دوبر صیقل از نمونه‌های سنگ اسکارن تهیه گردید و بررسی‌های ریزدانسانجی بر ۱۰۹ شاره درگیر موجود در کانی‌های کلسیت و کوارتز که با کانی‌های سولفیدی و مگنتیت رشد همزمان داشته و طی فرآیند اسکارن زایی تشکیل شده‌اند، در مرکز تحقیقات مواد معدنی ایران انجام شد.

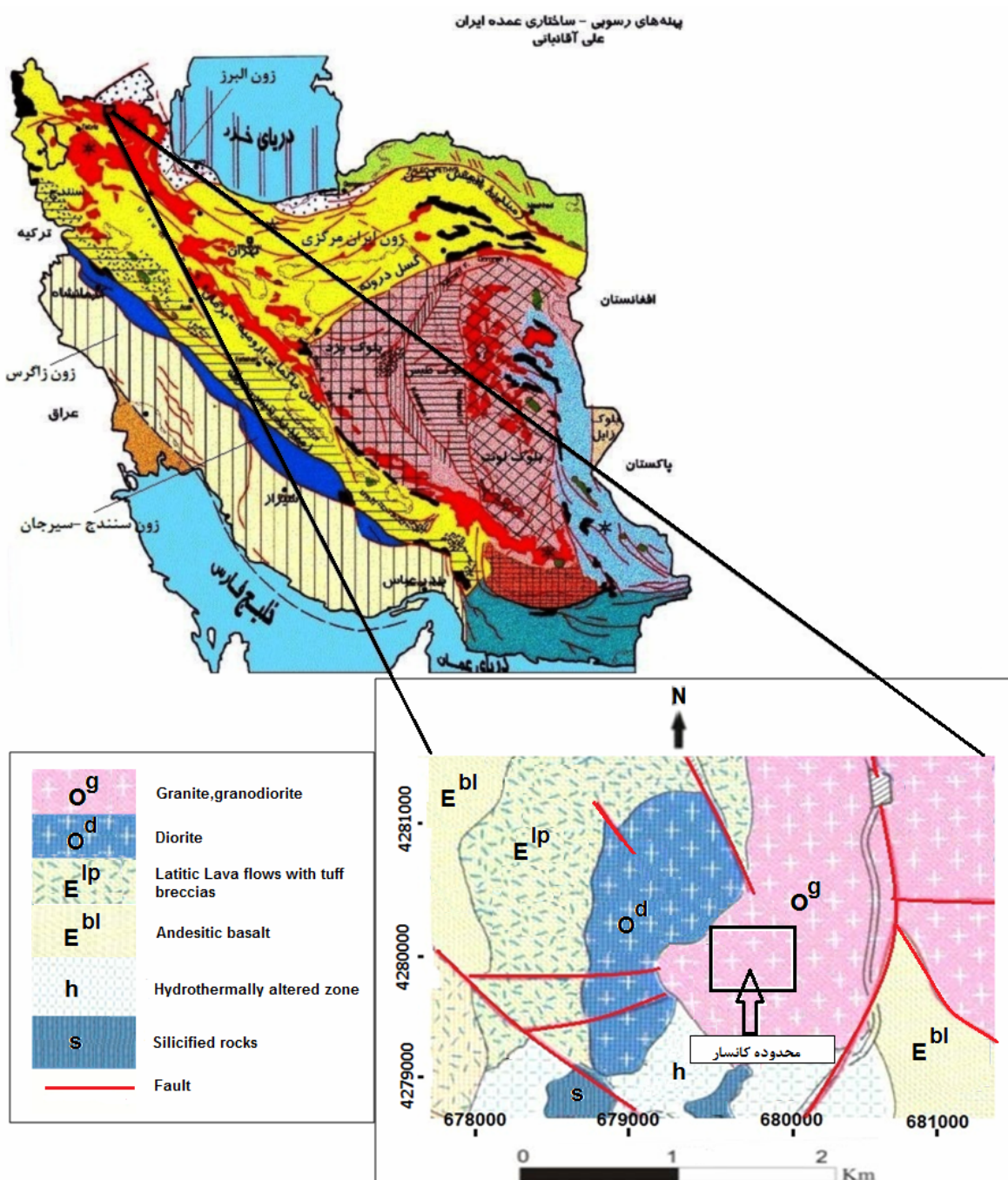
بحث و بررسی

زمین شناسی عمومی

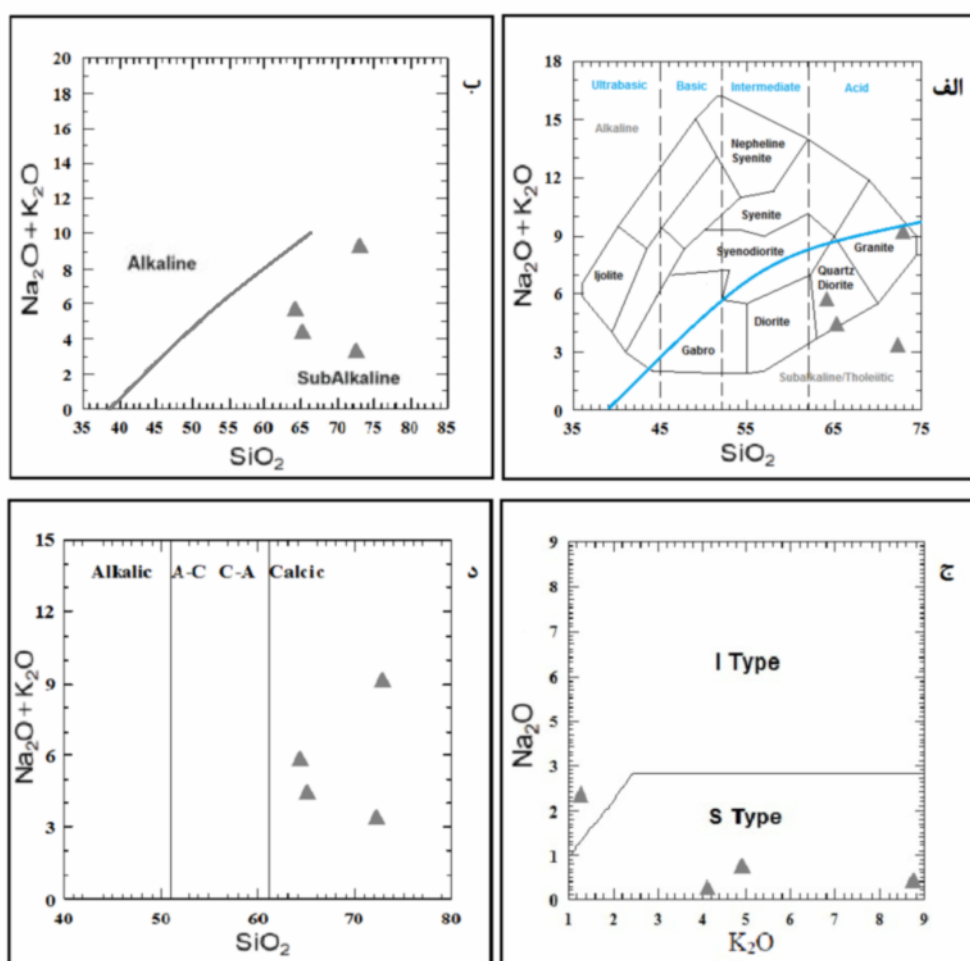
کانسار مزرعه در ۲۰ کیلومتری شمال شهرستان اهر و در نقشه زمین‌شناسی ۱:۲۵۰۰۰۰ اهر و ۱:۱۰۰۰۰۰ کلیبر واقع است (شکل ۱). این کانسار بخشی از حوضه فرسایش یافته فلات مانند کلیبر. اهر است که مکان رخمنون توالی ضخیمی از سنگ‌های رسوی، آتشفسانی کرتاسه پسین، سنگ‌های آتشفسانی و آذر آواری پالثوسن - ائوسن و توده‌های نفوذی گرانیتوبییدی الیگوسن - میوسن است [۷]. از نظر زمین‌شناسی ساختاری، این منطقه بخشی از نوار آذرین درونی مزوژوئیک - ترشیری پهنه سندج - سیرجان [۹،۸]، بخشی از پهنه البرز غربی-آذربایجان [۱۰] و در تقسیم‌بندی مرجع [۱۱] جزو پهنه مرکزی است. براساس نقشه زمین‌شناسی ۱:۱۰۰۰۰۰ کلیبر، قدیمی‌ترین واحد سنگی دارای رخمنون در گستره مربوط به کرتاسه و شامل سنگ آهک مارنی نازک لایه کرم متمایل به زرد است. از دیگر رخمنون‌های سنگی عده توده گرانیتوبییدی شیورdag است که سنگ‌هایی با ترکیب گرانیت، گرانو دیوریت و سینو دیوریت را شامل می‌شود [۱۲]. لسکوور و همکارش [۱۳] فعالیت‌های ماقمایی اهر را مربوط به اوایل اویلگوسن می‌دانند، در حالی که هزارخانی سن ۲۰ میلیون سال (اوایل میوسن) را برای آنها در نظر گرفته است [۱۴]. تتریق این توده

پ)، ۳ نمونه در گستره گرانیت‌های نوع S و یک نمونه در گستره نوع I قرار می‌گیرند [۲۰-۱۷]. با استفاده از نسبت مقادیر عناصر کمیاب Y, Nb, Rb می‌توان موقعیت زمین-ساختی توده نفوذی مولد انواع اسکارن را در نمودار ساختی توده نفوذی Rb/Y+Nb به دست آورد [۲۱] و بر این اساس توده نفوذی مزرعه در گستره کمان آتشفسانی واقع است (شکل ۳).

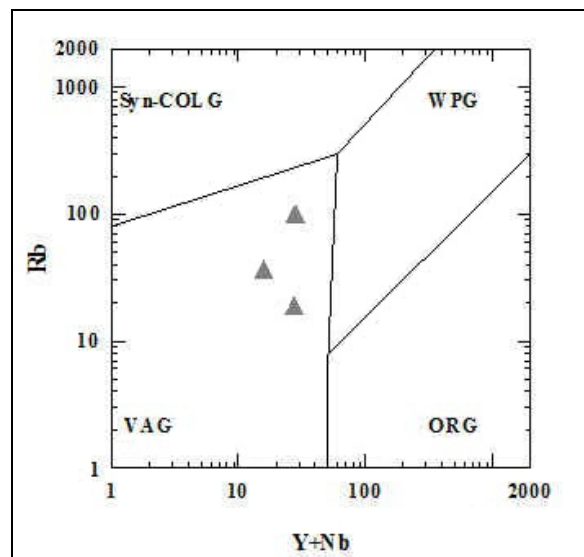
های زمین‌شیمیایی انجام شده بر نمونه‌های این توده گرانیت‌وبیدی، مقدار SiO_2 نمونه‌ها بین ۶۴-۶۵ و ۷۲-۷۹ درصد متغیر است. سنگ‌های گرانیت‌وبیدی بر اساس نموادر شکل ۲ الف در گستره گرانیت و کوارتز دیوریت قرار می‌گیرند. همچنین بر نموادر شکل ۲ ب نمونه‌ها در گستره سنگ‌های کلسیمی قرار (شکل ۲ ت) کل نمونه‌ها در گستره سنگ‌های زایشی گرانیت‌وبیدها (شکل ۲ گرفته‌اند. بر اساس نموادر تفکیک زایشی گرانیت‌وبیدها (شکل ۲



شکل ۱ موقعیت منطقه مورد بررسی در پهنه بندی ساختاری ایران [۱۱] و نقشه زمین‌شناسی آن برگرفته از مرجع [۷].



شکل ۲ (الف) موقعیت نمونه‌ها در نمودار رده‌بندی سنگ‌های نفوذی [۱۷]. (ب) نمودار SiO_2 و Na_2O نسبت به K_2O [۱۸] که در آن نمونه‌ها در گستره نیمه قلیایی قرار می‌گیرند. (پ) نمودار K_2O نسبت به Na_2O [۲۰] جهت تفکیک زایشی گرانیت‌ها که نمونه‌ها بیشتر در بخش گرانیت‌های نوع S قرار می‌گیرند. (ت) نمودار K_2O و Na_2O نسبت به SiO_2 [۱۹] که براساس آن نمونه‌ها جزو نمونه‌های کلسیمی محسوب می‌شوند.



شکل ۳ موقعیت ژئوتکتونیکی نمونه‌های توده نفوذی مزرعه در نمودار $\text{Rb}/(\text{Y}+\text{Nb})$ [۲۱].

شامل مگنتیت، هماتیت، پیریت، بخش عمدۀ کالکوپیریت و بورنیت در مرحله دگرنهادی پسروندۀ تشکیل شده‌اند (شکل ۶). بررسی‌های گسترده کانی‌شناسی در کانسارهای اسکارن مشابه در نقاط مختلف دنیا بیانگر تشکیل حجم اصلی ماده معدنی در این مرحله و در ارتباط با افزایش گریزندگی اکسیژن در اثر آمیختگی با شاره‌های جوی است [۲۴-۲۶]. در اواخر این مرحله با چرخش مجدد شاره‌های گرمابی و تجزیه سولفیدهای اولیه، روند جانشینی توسط کوولیت نیز آغاز شده است. در فاز بروونزاد نیز علاوه بر ادامه تشکیل کوولیت بر سولفیدهای اولیه، اکسید مس (مالاکیت) و هیدروکسید آهن (گوتیت) تشکیل شده‌اند. جهت بررسی نقش فرایند اسکارنی شدن در افزایش یا کاهش عناصر فرعی مهم، نمودار عنکبوتی ترکیب عناصر فرعی بهنجار شده توسط پوسته قاره‌ای گرفته از مرجع [۲۷] برای میانگین مقادیر این عناصر در توده نفوذی و پهنه اسکارن ترسیم شد (شکل ۷) که بر این اساس غنی‌شدگی عناصر سنگدوست بزرگ یون (LILE) مانند U, Th و نیز تهی-Nb, Ta, (HFSE) مانند Hf, Zr, Cr, Ta شدگی عناصر با شدت میدان بالا (HFSE) مانند شاره‌های سطحی به درون گوشته و روبش عناصر از آن باشد [۳۱]. غنی‌شدگی عنصر U در نمودارهای عنکبوتی می‌تواند نشانه افزوده شدن رسوبات لجه‌ای و یا پوسته اقیانوسی دگرانش شده به منبع ذوب شدگی باشد [۳۲]. مقادیر Cs, Sr, Li, Ta و Hf نیز در اسکارن نسبت به توده نفوذی افزایش یافته‌اند که این امر نشانگر تاثیر شاره‌های با خاستگاه پوسته بر توده نفوذی طی فرایندهای اسکارن‌زایی و کانه‌زایی مرتبط با آن است.

سنگنگاری اسکارن

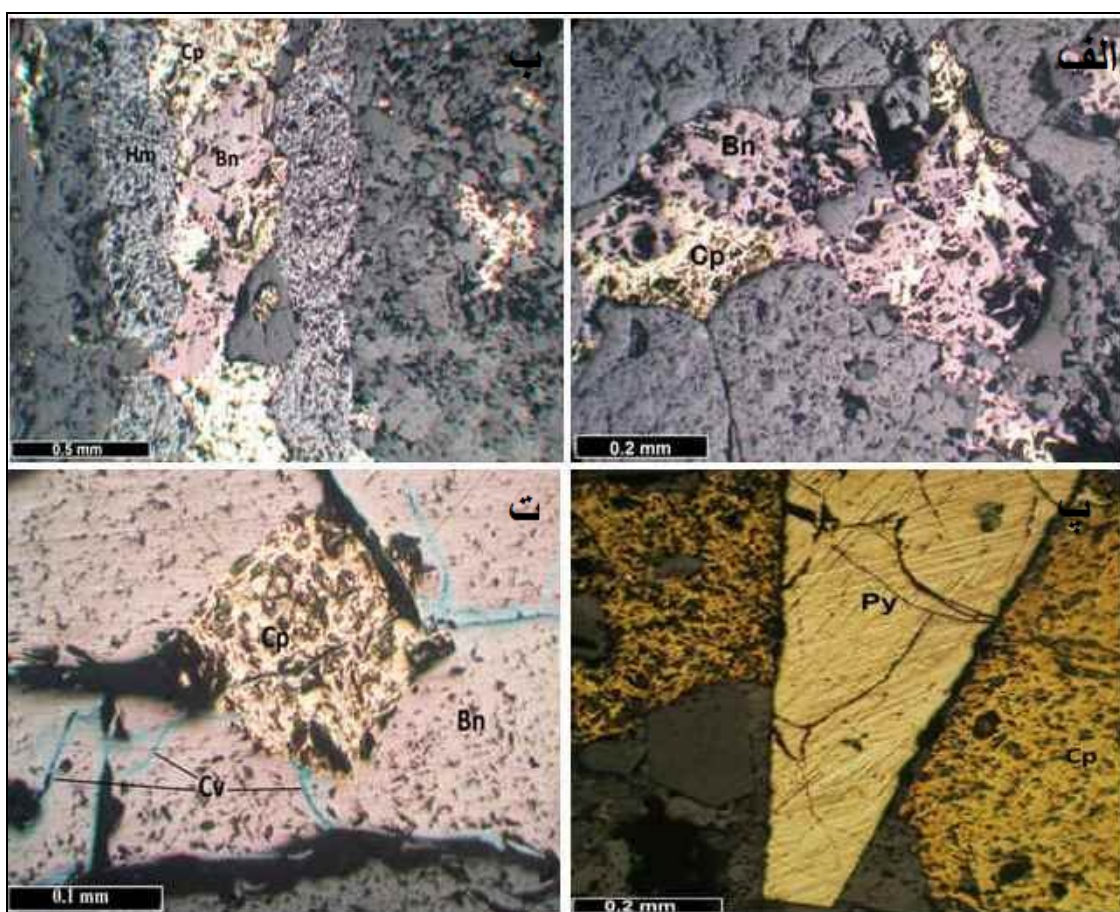
در مرز بین توده گرانیتی با سنگ‌های کربناته یک افق اسکارن گارنت - اپیدوت‌دار به رنگ قهوه‌ای به صورت نوار باریک و بلندی به ضخامت ۲۰ تا ۳۰ متر در سراسر لبه شمالی گرانیت گسترش دارد که مرز آن با توده گرانیتی یک گسل معکوس است. در نمونه‌های دستی رنگ سبز روشن تا قهوه‌ای دارد و گارنت، اپیدوت، کلریت در متن سنگ با چشم غیرمسلح دیده می‌شود. از نظر میکروسکوپی این سنگ‌ها بافت ریزدانه‌ای تا نهان بلوری دارند. بلورها نیمه‌شکل دار ولی با اندازه‌های تقریباً یکسان هستند و کانی‌های اصلی شامل گارنت، اپیدوت، آکتینولیت، کلریت، فلدسپات و سریسیت هستند.

کانی‌سازی در کانسار مزرعه

در کانسار مزرعه بیشتر کانه‌زایی فلزی به شکل برون اسکارن و به طور کلی همراه با دگرسانی‌های سیلیسی، پروپیلیتیک و کلریتی به شکل عدسی‌ها و رگه - رگچه‌ها در واحد گارنت - اپیدوت اسکارن صورت گرفته است (شکل ۴). ترکیب کانی-شناسی فلزی شامل مگنتیت، پیریت و سولفیدهای مس کالکو پیریت، بورنیت و کوولیت و نیز کانی‌های فاز بروونزاد هماتیت (اسپیکولاریت) و گوتیت و نیز در سطح اکسید مس (مالاکیت) است (شکل ۵). مگنتیت بیشتر به صورت عدسی و کمتر به شکل رگچه است ولی سولفیدهای مس و هیدروکسید آهن (گوتیت) به شکل پراکنده و رگه و رگچه دیده می‌شوند. تشکیل هماتیت در اثر تجزیه سولفیدهای مس و مگنتیت نیازمند افزایش میزان گریزندگی اکسیژن است و این اکسیژن توسط چرخش آب‌های جوی و یا ماقمایی در پهنه‌های شکسته و خرد شده در فاز دگرنهادی پسروندۀ تامین می‌شود [۲۲، ۲۳]. دلیل ایجاد شکستگی و خردشگی در سنگ‌ها نیز به احتمال زیاد فشار ناشی از صعود ماقماس است. قسمت عمدۀ کانه‌زایی



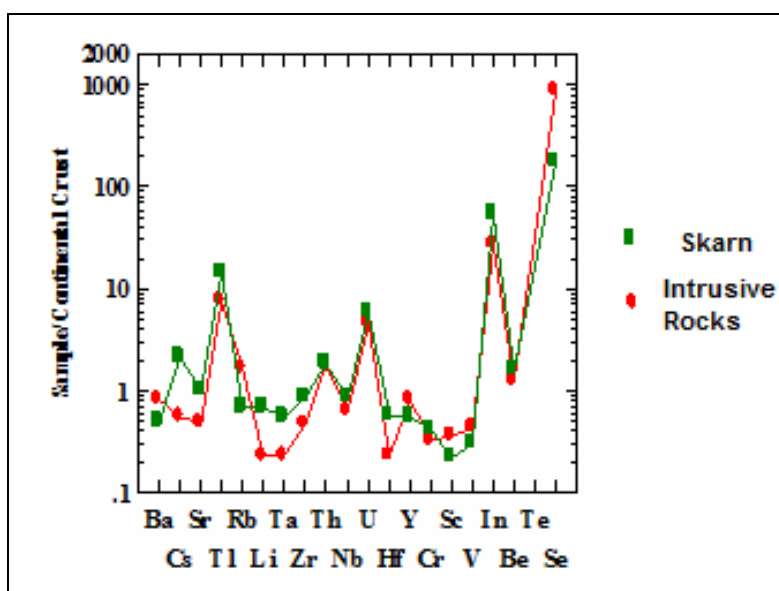
شکل ۴ نمایی از پهنه اسکارن در مجاورت توده نفوذی گرانیتوبنیدی در کانسار مزرعه. کانه‌زایی اکسید مس (مالاکیت) در سطح مشخص است.



شکل ۵ (الف) نمایی از همرشدی کالکو پیریت و بورنیت در یک نمونه اسکارن گارنت دار. (ب) نمایی از همرشدی کانه ها در یک اسکارن گارنت دار شامل هماتیت، کالکوپیریت و بورنیت. (پ) نمایی از بلور شکل دار پیریت در مجاورت بلور کالکوپیریت. (ت) نمایی از جانشینی بورنیت توسط کولیت. کالکوپیریت نیز در نمونه دیده می شود. (Cp: کالکوپیریت، Bn: بورنیت، Cv: کوولیت، Py: هماتیت، Hm: پیریت).

Stages \ Mineral	Prograde Skarn	Retrograde Skarn	Supergene
Garnet	—	—	—
Hornblende	—	—	—
Sericite	—	—	—
Chlorite	—	—	—
Epidote	—	—	—
Kaolinite	—	—	—
Magnetite	—	—	—
Hematite	—	—	—
Goethite	—	—	—
Pyrite	—	—	—
Chalcopyrite	—	—	—
Bornite	—	—	—
Covellite	—	—	—
Malachite	—	—	—

شکل ۶ دنباله کانه‌زایی کانه ها و کانی های کانسار مزرعه.



شکل ۷ نمودار مقادیر میانگین عناصر کمیاب بهنجار شده با مقادیر پوسته قاره ای [۲۷] برای نمونه های گرانیتوئیدی و اسکارن.

مواردی شکل های بلورین منفی هستند (شکل ۸). برای رده بندی میانبارهای شاری بrippاie نسبت های فاز جامد، مایع و گاز از روش ارائه شده در مرجع [۳۷] که روش رایجی است استفاده شد. بر اساس سنگنگاری صورت گرفته بر هفت نمونه، ۲ نوع میانبار شاری تشخیص داده شد که عبارتند از:

الف: نوع دو فازی شامل مایع، گاز و غنی از مایع (L+V).

بیشترین میانبارهای شاری مشاهده شده از این نوع است. در این نوع، بیشترین حجم میانبارهای شاری را فاز آبگون تشکیل داده است و حجم حباب های گازی نسبت به فاز مایع ناچیز است. از ۱۰۹ میانبار بررسی شده، ۹۸ نمونه (حدود ۹۱ درصد) از این نوع هستند.

ب: نوع سه فازی شامل گاز، مایع و جامد (L+V+S) که فاز جامد را هالیت و نمک های دیگر تشکیل داده اند. تعداد ۱۱ نمونه از این میانبارها (۹ درصد) در میان میانبارهای بررسی شده وجود دارد.

بررسی های ریزدماسنجری

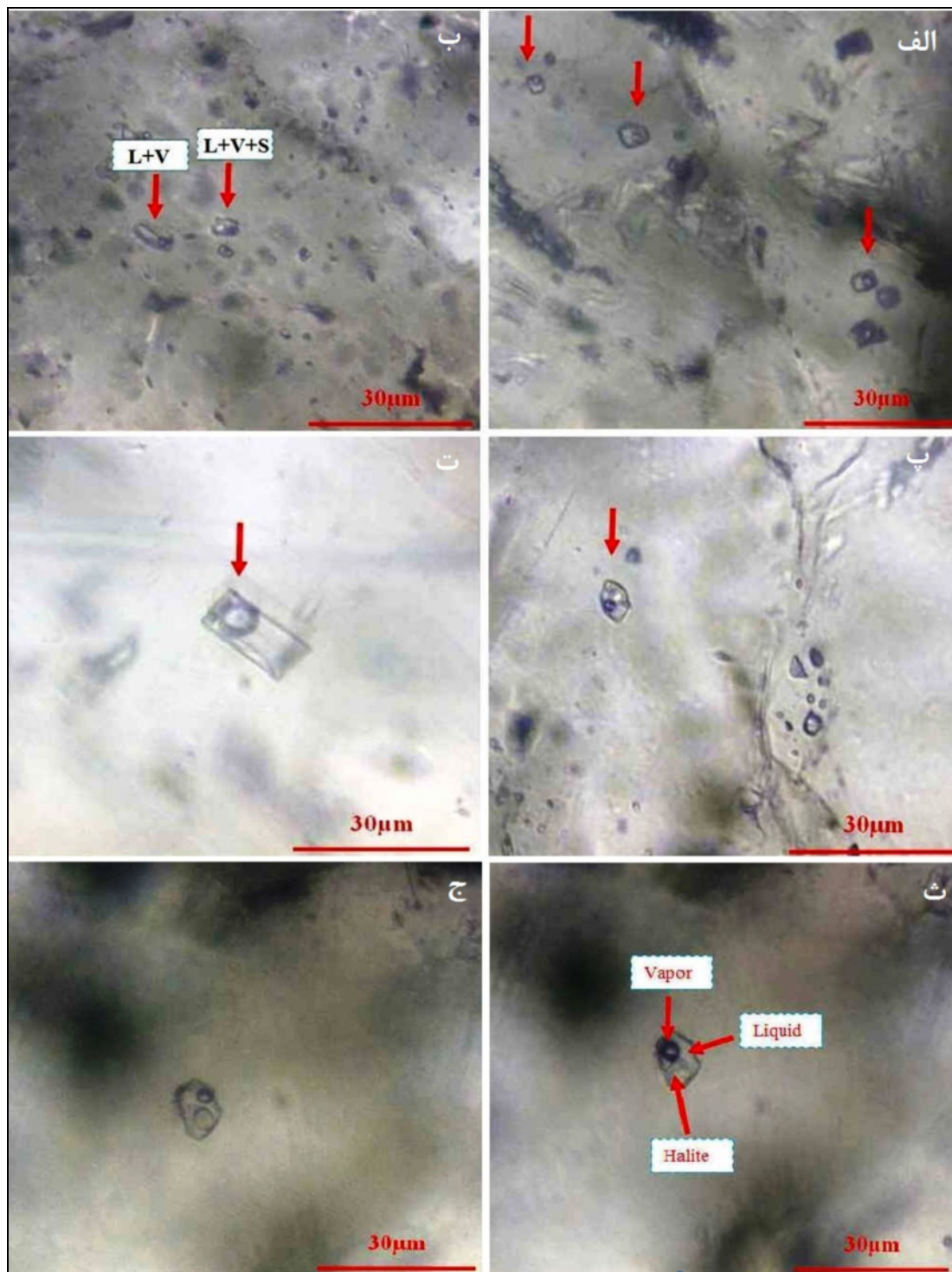
اندازه گیری پارامترهای دمایی در دو مرحله سرمایش و گرمایش در آزمایشگاه کانی شناسی مرکز تحقیقات فراوری مواد معدنی ایران با استفاده از Stage: THMS600 Linkham کننده و منجمد- کننده مدل ZEISS میکروسکوپ گرفت. دامنه حرارتی دستگاه ۱۹۶-۰۶۰۰ درجه سانتی گراد است. برای واسنجی دستگاه برای گرمایش با دقت

بررسی میانبارهای شاری

بررسی دمای تشکیل کانسارها، شوری و ترکیب شیمیایی شارهای کانه ساز و فشار حاکم بر محیط کانه سازی در شناخت نوع کانه سازی منطقه و ارائه الگوی پیجوبی بسیار مهم و کارساز است [۳۳]. شارهای کانه سازی که در میانبارهای شاری به دام افتاده اند می توانند دارای خاستگاه های ماقمایی، جوی، دگرگونی و آبهای فسیلی باشند، ولی نقش آبهای ماقمایی و جوی مهم تر است [۳۴]. از بررسی شارهای درگیر می توان اطلاعاتی از دما، درجه شوری و فشار آنها در زمان به دام افتادن به دست آورد [۳۵]. میانبارهای شاری در منطقه برای کانی های شفاف کوارتز و کلسیت پهنه گارنت- اپیدوت اسکارن بررسی شده است. به منظور بررسی های سنگنگاری و ریزدماسنجری میانبارهای شاری تعداد ۷ مقطع دوبر صیقل با ضخامت تقریبی ۱۰۰ تا ۲۰۰ میکرون (متوسط ۱۵۰ میکرون) از رگه - رگچه های کوارتز و کلسیت همرشد با کانه زایی تهیه شد و تعداد ۱۰۹ میانبار که همه آنها میانبارهای اولیه بوده اند، مورد آزمایش ریزدماسنجری قرار گرفت که اندازه آنها بین ۵ تا ۲۶ میکرون بود. بیشتر شارهای درگیر مورد بررسی، دارای اندازه متوسط تا درشت (۱۰ تا ۲۰ میکرون) هستند. بزرگترین میانبار در کانی کلسیت مورد بررسی قرار گرفت. شکل میانبارهای شاری در برخی موارد توسط خواص بلورشناسی کانی میزبان کنترل می شود [۳۶]. معمولترین شکل های شاره های درگیر در نمونه ها چند وجهی های نامنظم و کشیده و در

ذوب ${}^{\circ}\text{C}$ $94.3 - 94.3$ استفاده شد. آهنگ عملیات سرمایش و گرمایش نیز بین 2°C تا 8°C در دقیقه متغیر بوده است.

$\pm 0.6^{\circ}\text{C}$: از استاندارد نیترات سزیوم با نقطه ذوب 414°C و برای سرمایش با دقت $\pm 0.2^{\circ}\text{C}$ از استاندارد هگزان n با نقطه



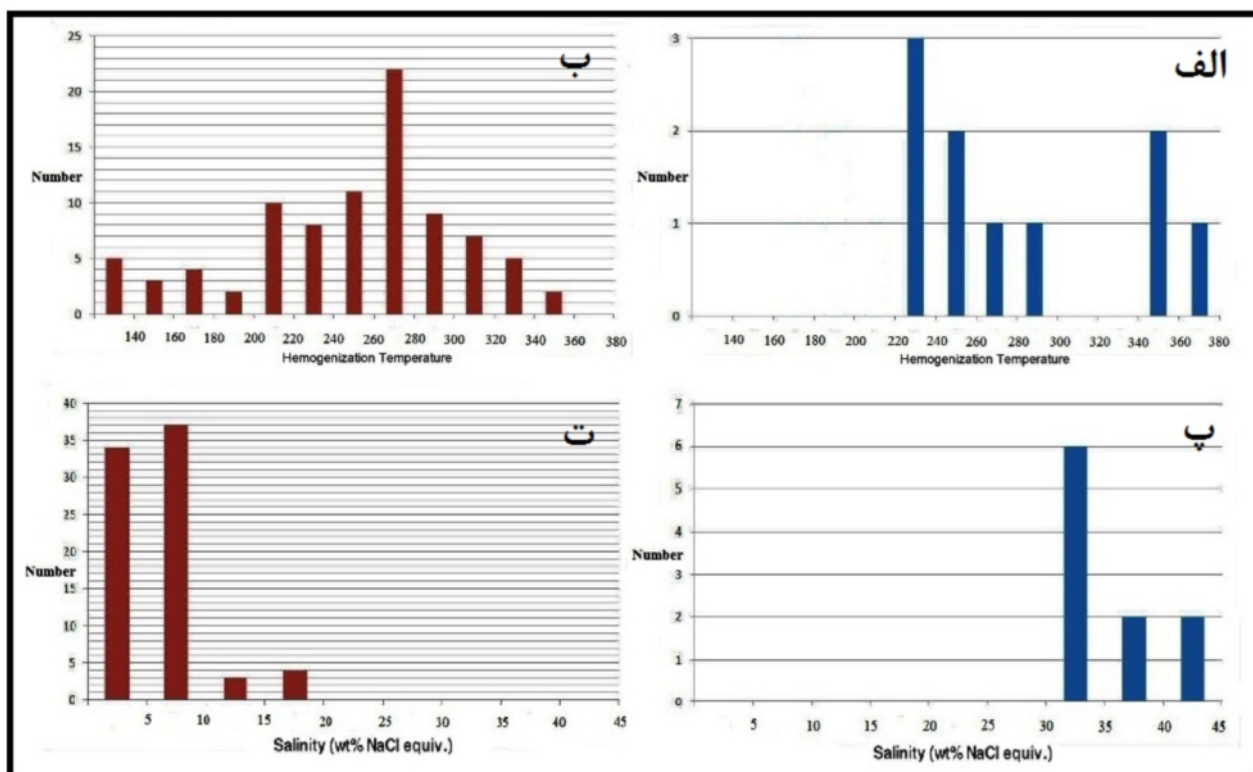
شکل ۸ (الف) نمایی از میانبارهای شاری دو فازی غنی از مایع (L+V). (ب) دو نوع میانبار بررسی شده (L+V) و (L+V+S). (پ) میانبار سه فازی (L+V+S) به شکل بلورین منفی. (ت) میانبار دو فازی (L+V) به شکل بلورین منفی. (ث) میانبار سه فازی (L+V+S) متشکل از فاز گاز (V)، مایع آبگین (L) و هالیت. (ج) همان میانبار در دمای 160°C درجه سانتی گراد. حاشیه های بلور هالیت گرد شده است.

آزمون گرمایش

با همگن کردن فازهای درون میانبارهای شاری به فاز مایع و به دست آوردن دمای همگن شدگی، کمینه دمای تشکیل کانسار تعیین شد که بر این اساس میانبارهای شاری نوع (L+V) در گستره دمایی ۱۲۰ تا ۳۵۶ درجه سانتیگراد و میانبارهای شاری نوع (L+V+S) در گستره دمایی ۲۲۷ تا ۳۷۵ درجه سانتی-گراد همگن شده‌اند (شکل ۹ و جدول ۱). میانگین دمای همگن شدگی میانبارهای شاری نوع (L+V) ۲۵۱,۶۹ درجه و برای شارهای نوع (L+V+S) ۲۱۹,۴ درجه است (شکل ۹ و جدول ۱). بر اساس نمودار شوری نسبت به دمای همگن شدگی [۴۲]، (شکل ۱۰ الف). چگالی میانبارهای شاری برای میانبارهای نوع (L+V) ۰,۸ g/cm³ تا ۱,۱ g/cm³ و برای میانبارهای (L+V+S) ۱ تا ۱,۱ g/cm³ به دست آمد (شکل ۱۰ الف). با توجه به نمودار شوری نسبت به دمای همگن شدگی میانبارهای شاری [۴۳] (شکل ۱۰ ب) همه میانبارهای شاری در گستره کانه‌زایی اسکارن قرار می‌گیرند (شکل ۱۰ ب).

آزمون سرمایش

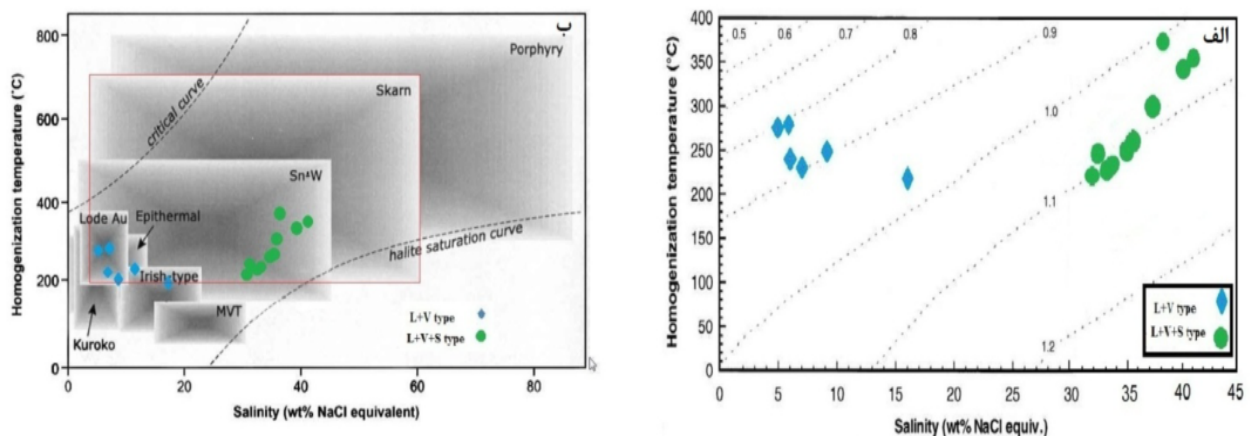
با اندازه‌گیری تغییرات درجه انجماد می‌توان میزان شوری شارهای کانه‌ساز را به دست آورد. دمای ذوب نخستین بلور یخ (دمای همگذاری) در سیستم NaCl+H₂O تقریباً برابر با ۲۰,۸- است، در حالیکه در نمونه‌های بررسی شده این دما کمتر از این مقدار به دست آمد. این نشان می‌دهد که به غیر از کلرید سدیم نمک‌های دیگری مانند CaCl₂ نیز در شارهای کانه‌ساز به مانند وجود دارند [۳۹,۳۸]. دمای همگذاری (Te) بین ۳۰- تا ۶۰- درجه سانتی‌گراد است. می‌توان مقدار شوری میانبارهای شارهای را با استفاده از مقادیر دمای همگذاری در شارهای و نمودارها و رابطه‌های مختلف به دست آورد [۴۱,۴۰,۴۵]. بر اساس بررسی‌های صورت گرفته گستره شوری ۱۷,۹۴ تا ۶,۴۲ و میانگین ۱۵,۷۶ درصد برای میانبارهای شاری نوع (L+V) و شوری ۳۲,۰۶ تا ۴۱,۷۷ و میانگین ۳۵,۷۶ درصد برای میانبارهای شارهای نوع (L+V+S) به دست آمد (شکل ۹ و جدول ۱).



شکل ۹ (الف) نمودار ستونی مقادیر دمای همگن شدگی میانبارهای شاری نوع (L+V+S). (ب) نمودار ستونی مقادیر دمای همگن شدگی میانبارهای شاری نوع (L+V). (پ) نمودار ستونی مقادیر شوری میانبارهای شاری نوع (L+V+S). (ت) نمودار ستونی مقادیر دمای همگن شدگی میانبارهای شاری نوع (L+V).

جدول ۱ نتایج ریزدماسنژی میانبارهای شاری.

کانی میزبان	فاز	تعداد میانبار	اندازه (μm)	شوری %	دماهی همگن شدگی $\text{Th (total)} (\text{°C})$
کوارتز و کلسیت	L+V	۹۸	۵-۲۶	۱,۵۷-۱۷,۹۴	۱۲۰-۳۵۶
کوارتز	L+V+S	۱۱	۸-۱۵	۳۱,۰۶-۴۱,۷۷	۲۲۷-۳۷۵



شکل ۱۰ (الف) نمودار تعیین چگالی میانبارها [۴۲]. (ب) نمودار دماهی همگن شدگی نسبت به شوری میانبارها در کانسارهای مختلف [۴۳].

دلیل آن می‌تواند آمیختگی آبهای با شوری بالا و کم و یا جوشش گرمابهایی با شوری زیر ۱۰ درصد باشد [۴۳، ۴۵]. چنانکه در شکل ۱۲ دیده می‌شود، پراکنش شوری‌های اندازه-گیری شده نسبت به دماهی همگن شدگی در میانبارهای شاری دارای دو روند متفاوت آمیختگی همدما و رقیق شدگی سطحی شاره‌های است. البته هر دوی این فرآیندها مربوط به فاز دگرنهادی پس رونده هستند. فرآیندهای آمیختگی همدما و رقیق شدگی سطحی شاره‌ها از عوامل مهم در تأثیرگذاری همبافت‌های کلریدی و همزمانی نهشت آهن و مس در پهنه‌های اسکارنی و به دنبال آن تشکیل فازهای سولفیدی در مراحل پایانی کانی‌سازی است که در نتیجه‌ی کاهش ناگهانی فشار در شکستگی‌ها و گسل‌های فرعی منطقه ایجاد شده‌اند [۴۶]. مشاهده دو دامنه شوری متفاوت در میانبارهای شاری، عدم مشاهده بافت‌های مشخصه پدیده جوشش همچون بافت داربستی، نواری و کوکاد در کوارتزهای منطقه نیز این نتایج را تایید می‌کند. به باور دراموند و همکارش [۴۷] پدیده آمیختگی موجب کاهش دماهی سیستم، کاهش دماهی انحلال شاره و کاهش انحلال پذیری عنصر کانه‌ساز و نهشت ماده معدنی می‌شود. بر این اساس پدیده آمیختگی هم دما که در میانبارهای شاری نوع (L+V) دیده می‌شود، نشان‌دهنده رخداد فرآیند آمیختگی شاره‌های با شوری

خاستگاه شاره‌های کانه‌ساز

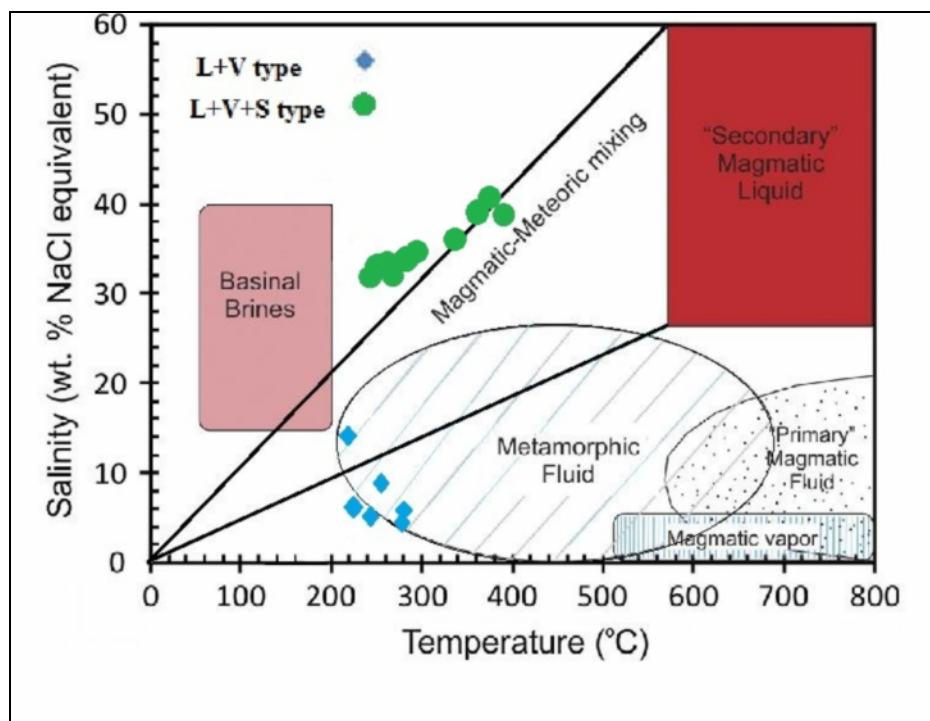
برای تعیین خاستگاه شاره‌های کانه‌ساز موجود در میانبارهای شاری از نمودار مرجع [۳۳] استفاده شد. بر اساس نتایج به دست آمده میانبارهای نوع (L+V) از خاستگاه شاره‌های دگرگونی و میانبارهای نوع (L+V+S) از خاستگاه شاره‌های ترکیبی ماقمایی - جوی تا شورابه‌های سطحی هستند (شکل ۱۱).

تکوین شاره سازنده کانسار مزرعه

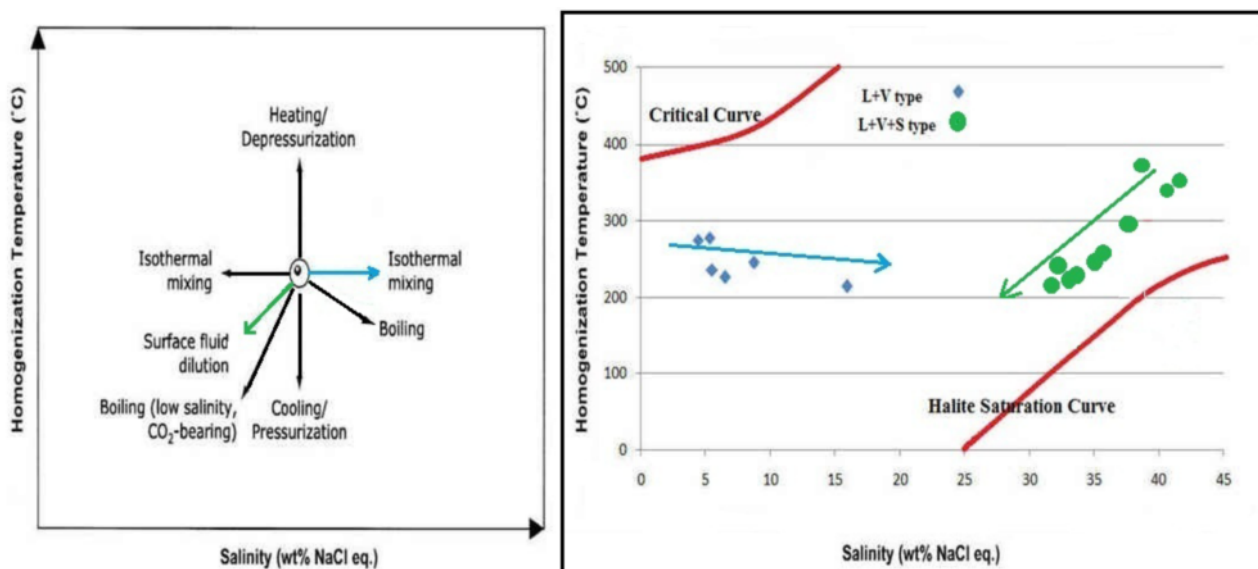
در اصل چهار عامل تغییر دما (سردشدن شاره‌های کانه‌ساز)، تغییر فشار، تغییرات شیمیایی ناشی از واکنش شاره کانه‌ساز با سنگ میزبان و تغییرات شیمیایی ناشی از پدیده آمیختگی و جوشش در شکل گیری ذخایر معدنی و نهشت کانه‌ها از اهمیت بالایی برخوردارند [۴۴]. جوشش و آمیختگی شاره‌ها دو عامل مهمی هستند که معمولاً باعث ابراشیاع شدن سریع شاره‌های ماقمایی و ایجاد شرایط لازم جهت تهنشست کانه‌ها در گستره سنگ‌های میزبان می‌شوند [۴۵، ۴۳]. جهت بررسی آرایه شده تکوین شاره‌های کانه‌ساز براساس شوری‌های اندازه‌گیری شده نسبت به دماهی همگن شدگی از نمودار ارائه شده در مرجع [۴۳] استفاده شد (شکل ۱۲). همه نمونه‌های مورد بررسی بین دو منحنی اشباع هالیت و منحنی بحرانی قرار می‌گیرند که

ناپایداری همبافت‌های کلریدی و تنهشینی کانی‌های سولفیدی می‌شود. نمودار شکل ۱۱ در مورد خاستگاه میانبارهای شاره‌ای نیز خاستگاه ترکیبی شاره‌های ماقمایی-جوی را برای این دسته میانبارها تایید می‌کند.

بالا و شوری متوسط تا پایین ولی با دمای تقریباً یکنواخت و به دنبال آن کانی‌سازی آهن به همراه عناصر سولفیدی است. همچنانی در مرحله بعدی با توجه به روندی که در میانبارهای نوع (L+V+S) دیده می‌شود، مخلوط شدن آب‌های جوی با شاره‌های ماقمایی در مرحله دگرنهادی پس رونده، منجر به



شکل ۱۱ نمودار تعیین خاستگاه شاره‌های گرمایی بر اساس داده‌های شوری و دمای همگن شدگی میانبارهای شاری.



شکل ۱۲ نمایش دگرگونی‌های اعمال شده بر محلول‌های گرمایی با استفاده از نمودار دمای همگن شدگی نسبت به شوری [۴۲]. با توجه به الگوی توزیع پذیری داده‌های منطقه، دو روند آمیختگی هم دما و رقیق شدگی سطحی شاره‌های ماقمایی-دگرگونی قابل مشاهده است.

گرفت (شکل ۱۴).

برداشت

کانه‌زایی در کانسار مزرعه از طریق تزریق توده گرانیتوسیدی شیوردادغ به سن اولیگومیوسن با مشخصه گرانیتوئیدهای نیمه-قلیایی کلسیمی، به درون مجموعه آواری، کربناته، آتشفشارانی قدیمی‌تر و تبدیل آن‌ها به اسکارن گارنت - اپیدوتدار و به شکل برون اسکارن صورت گرفته است. شاهدی بر پدیده جوشش در مرحله اسکارن پس رونده در بررسی میانبارهای شاری و سنگنگاری دیده نشد و بنا بر این با توجه به مشاهده دو دسته میانبار شاری با شوری کم تا متوسط و زیاد در نمونه-ها و بررسی‌های انجام شده خاستگاه آن‌ها ترکیبی از شاره‌های ماقمایی - دگرگونی و جوی- شورابه‌های سطحی است (شکل ۱۱) همچنین با توجه به روند تکوین این میانبارها، می‌توان گفت که عامل اصلی نهشت کانه‌ها در پهنه اسکارن و در مرحله دگرنهادی پسرونده آمیختگی هم‌دما و رقيق‌شدگی سطحی شاره‌های ماقمایی- دگرگونی در اثر هم‌آمیزی شدن با آبهای سطحی است (شکل ۱۲). مقادیر زیاد هماتیت تشکیل شده در مرحله دگرنهادی پسرونده در ترکیب کانی‌شناسی اسکارن در نتیجه تجزیه سولفیدها و مگنتیت‌های اولیه به دلیل افزایش گریزندگی اکسیژن در محیط و نیز ایجاد دگرسانی شاخص پروپیلیتیک همراه با کانه‌زایی در پهنه اسکارن بر اثر آبپوشی و دگرنهادی یون H^+ ، نشانگر تاثیر چرخش آبهای سطحی در پهنه‌های شکسته و خرد شده ناشی از صعود ماقما و آمیختگی این شاره‌ها با شاره‌های با خاستگاه ماقمایی- دگرگونی در مرحله دگرنهادی پس رونده اسکارن و تایید کننده نتایج بررسی میانبارهای شاری در این مورد است. همچنین شواهد ناشی از بررسی میانبارهای شاری از قبیل فشار و دمای تشکیل کانسار که به ترتیب کمتر از ۱۵۰ بار و بین ۲۵۰ تا ۳۴۰ درجه سانتیگراد به دست آمد (شکل‌های ۱۳ و ۱۴)، کانسار اسکارن مزرعه را به عنوان یک اسکارن نسبتاً کم ژرف با ژرفای تشکیل بین ۳۵۰ تا ۴۰۰ متر از سطح ایستابی زمان تشکیل کانسار معرفی می‌کند.

ژرفای تشکیل کانسنگ

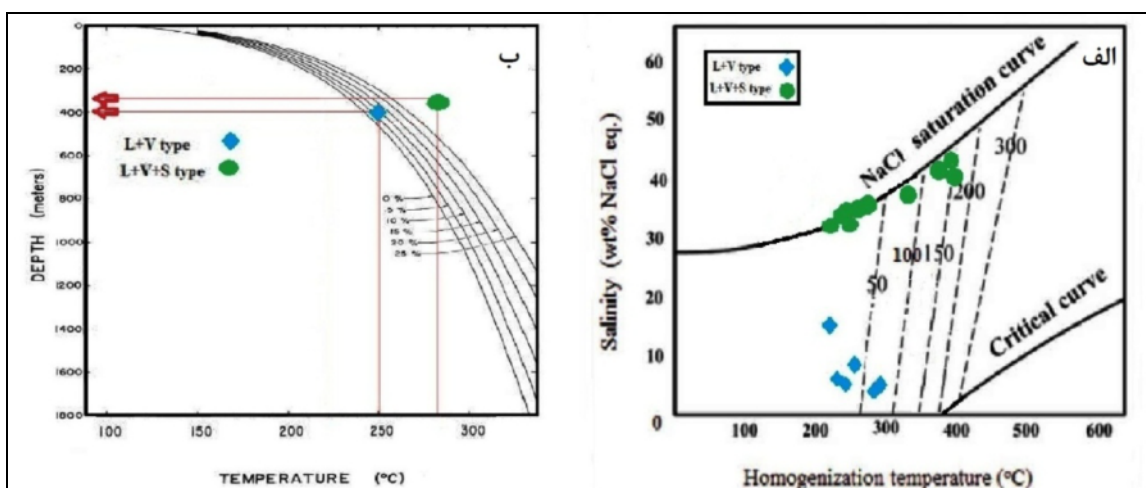
به منظور برآورد ژرفای کانی‌سازی نسبت به سطح ایستابی قدیمی، از منحنی ارائه شده در مرجع [۴۸] استفاده شده است (شکل ۱۳ ب). صفر ایستابی مربوط به آب خالص بوده و منحنی‌های بعدی شرایط فشار ایستابی را با توجه به میزان شوری شاره نشان می‌دهد. با توجه به مقدار میانگین شوری میانبارهای نوع (L+V+S) و (L+V) که به ترتیب برابر با $6/42$ و $76/35$ است و مقادیر میانگین دمای همگن‌شدگی دو نوع میانبار، ژرفای ایجاد کانی‌سازی بین ۳۵۰ تا ۴۰۰ متر نسبت به سطح ایستابی قدیمی تعیین شد که با شواهد به دست آمده از بررسی‌های سنگنگاری از جمله بافت کانی‌ها و همچنین با فشار شاره به دست آمده از نمودار مرجع [۴۹] همخوانی دارد (شکل ۱۳ الف).

فشار شاره‌ها در زمان شکل‌گیری اسکارن

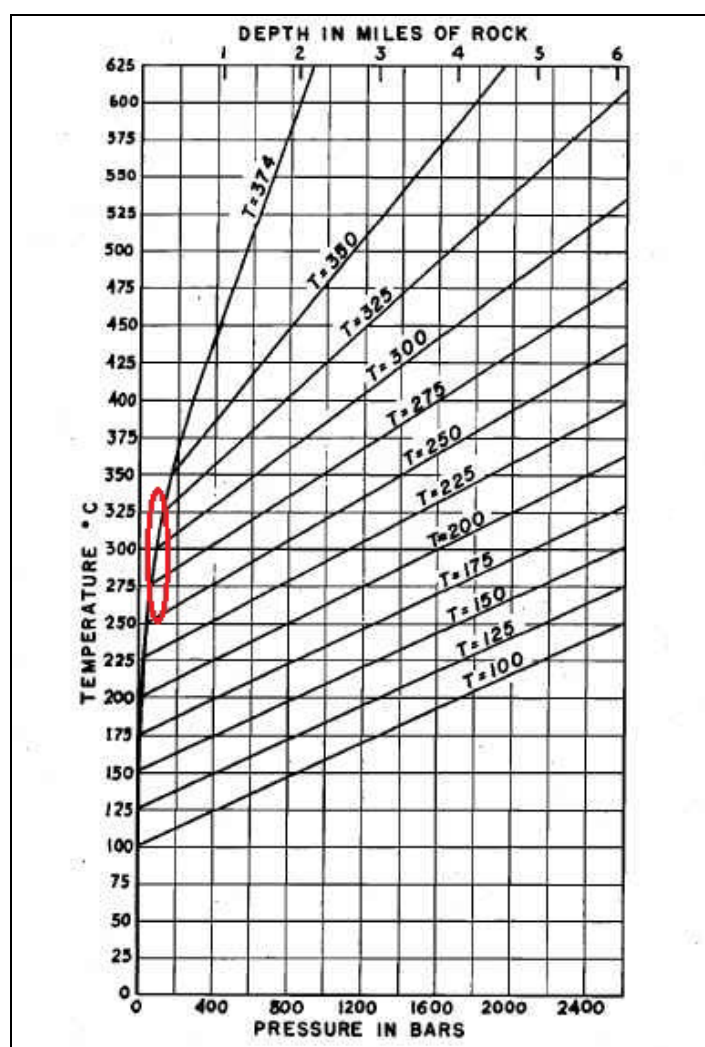
برای تعیین فشار وارد بر شاره در زمان شکل‌گیری اسکارن از نمودار ارائه شده در مرجع [۴۹] استفاده شد (شکل ۱۳ الف). براین اساس، فشار شاره در مرحله دگرنهادی پسرونده با استفاده از هر دو نوع میانبارهای شاری از کمتر از ۵۰ تا اندکی بیش از ۱۵۰ بار بوده است و تمام میانبارها زیر و یا روی منحنی اشباع کلرید سدیم قرار گرفته‌اند ($Ts < NaCl < Th$). بنابراین می‌توان چنین نتیجه گرفت که فشار وارد بر شاره کانی‌ساز به طور میانگین در حدود ۱۰۰ بار بوده است که با ژرفای تشکیل کانسنگ که بین ۳۵۰ تا ۴۰۰ متر به دست آمده است همخوانی دارد (شکل ۱۳ ب).

دمای تشکیل کانسار

براساس مقادیر دمای همگن‌شدگی همه میانبارهای شاری و فشار شاره کانه‌ساز با استفاده از نمودار ارائه شده در مرجع [۵۰] و با توجه به شکل ۱۳ الف شاره‌ها بیشتر در فشار کمتر از ۵۰ تا اندکی بیش از ۱۵۰ بار تشکیل شده‌اند و همچنین دمای یکنواخت‌شدن کانسار که با توجه به مقادیر دمای همگن‌شدگی همه شاره‌ها در حدود ۳۶۰ درجه است، دمای نهایی تشکیل کانسار را می‌توان بین ۲۵۰ تا ۳۴۰ درجه سانتیگراد در نظر



شکل ۱۳ (الف) نمودار تعیین فشار شاره‌های کانه ساز بر اساس مقادیر شوری و دمای همگن شدن میانبارها [۴۹]. (ب) نمودار تعیین ژرفای به دام افتادن میانبارها بر اساس دمای همگن شدن میانبارها و شوری شاره‌ها در زمان به دام افتادن میانبار [۴۸].



شکل ۱۴ نمودار تعیین دمای تشکیل کانسار بر اساس دمای همگن شدن میانبارها و فشار-عمق معین شاره‌ها در زمان تشکیل کانسار [۵۰].

قدرتانی

- scientific quarterly journal of geosciences, 31-32 (1999) 28-49.
- [9] Berberian F., Berberian M., "Tectonoplutonic episodes in Iran. In: Gupta H.K., Delany F.M. (Eds.), *Zagros Hindukosh, Himalaya Geodynamic Evolution*", American Geophysical Union, Washington, DC, (1981) 5-32.
- [10] Nabavi M.H., "A Preface to Iran's Geology", Geological survey& mineral exploration of Iran publications, (1976) 109p.
- [11] Aghanabati A., "Geology of Iran", Geological survey& mineral exploration of Iran publications, (2004) 586p.
- [12] Alavi Gh., Moayyed M., Hoseinzadeh M.R., "Petrography, Geochemistry and Petrology of Sheyvardagh Batholith (North of Ahar, East Azerbaijan)", Iranian Journal of Geology, 33(2015) 105-122.
- [13] Lescuyer J.I., Riou, R., "Géologie de la region de Mianeh (Azarbayjan). Contribution de la volcanisme tertiaire de l' Iran", Thèse 3 cycle, Grenoble, (1974) 234 p.
- [14] Hezarkhani A., "Geochemistry of the Anjerd Skarn and its association with copper mineralization, northwestern Iran", International Geology Review , 48 (2006) 892-909.
- [15] Biabangard H., Ghanjalipour R., Ahmadi A., "Mineralogy, paragenesis and conditions of Siah Kamar skarn formation, west Dehsalm, East Lut Block", Iranian Journal of Crystallography and Mineralogy, 1(2015) 31-42.
- [16] Babakhani A., Exploration report of Mazraeh deposit, Pars olang Consulting Company, (2009) 114p.
- [17] Cox K.G., Bell J.D., Pankhurst R.J., "The interpretation of igneous rocks", Boston, George Allen and Unwin, London, (1979).
- [18] Irvine T. N., Baragar W.R.A., "A guide to the chemical classification of the common volcanic rocks", Canadian Journal of Earth Sciences, 8(1971) 528-548.
- [19] Peacock M. A., "Classification of igneous rock series", Journal of Geology, 39 (1931) 54-67.

بدینوسیله از مدیریت و کارکنان محترم امور تحقیق و توسعه شرکت ملی صنایع مس ایران (سرچشمه) جهت تامین مالی این پژوهش و از کارکنان شرکت ملی مس مستقر در شهرستان‌های اهر و ورزقان جهت همکاری در نمونه‌برداری و نیز از خانم مهندس آفاجانی کارشناس مرکز تحقیقات مواد معدنی ایران به جهت همکاری در انجام این پژوهش تشکر و قدردانی می‌گردد.

مراجع

- [1] Bazin D., Hubner H., "Copper deposits in Iran", Report No.13, Geological Survey of Iran (1969) 190p.
- [2] Superceanu C.I., "The Eastern Mediterranean-Iranian Alpine copper-molybdenum belt", Society of Mining Geology of Japan, Special Issue, 3 (1971) 393-398.
- [3] Karimzadeh Somarin A., Moayyed M., "Granite and gabbrodiorite associated skarn deposits of NW Iran", Ore Geol Rev, 20 (2002) 127-138.
- [4] Karimzadeh SomarinA., "Garnet composition as an indicator of Cu mineralization: evidence from skarn deposits of NW Iran", Geochem Explor, 81 (2004) 47-57.
- [5] Roedder E., "Fluid inclusions", Reviews in Mineralogy, Mineralogical Society of America, Virginia, 12 (1984) 640p.
- [6] Hajalilou B., Vusuq B., Rezvanzadeh N., Moayyed M., "Investigation of Skarn Mineralization in Kelardasht area (Northern Iran) with special view on fluid inclusion studies", Iranian Journal of Crystallography and Mineralogy, 20 (2013) 623-636.
- [7] Mehrparto M., Nazer Kh., "Geological report of Kaleybar 1:100000 scale map", Geological survey& mineral exploration of Iran publications, (1380).
- [8] Mohajjel M., Sahandi M.K., "Tectonic evolution of northwestern part of Sanandaj-Sirjan zone and introducing new sub-zones in it",

- metasomatism", Contributions to Mineralogy and Petrology, 134(1999) 107-122.*
- [31] Rollinson H. R., "Using geochemical data: evalution, presentation, interpretation", Longman scientific and technical, (1993) 252 p.
- [32] Fan W.M., Gue F., Wang Y.J., Lin G., "Late Mesozoic calc-alkaline volcanism of post-orogenic extention in the northern Da Hinggan Mountains, northeastern China", Journal of Volcanology and Geothermal Research, 121(2003) 115-135.
- [33] Beane, R.E., "The Magmatic-Meteoric Transition", Geothermal Resources Council, Special Report 13, (1983) 245-253.
- [34] Halalilou B., Khakzad A., "Investigating the mineralization of Boulaghi and Rasht Abad copper mines based on fluid inclusion studies", Scientific quarterly journal of geosciences, 33-34 (1999) 62-77.
- [35] Goldstein R.H., "Fluid inclusions in sedimentary and diagenetic systems", Lithos 55(2001) 159-192.
- [36] Van den Kerkhof A.M., Hein U.F., "Fluid inclusion petrography", Lithos, 55(2001) 27-47.
- [37] Nash J.T., "Fluid inclusion petrology-data from porphyry copper deposits and applications to exploration", US Geol. Surv. Prof. Paper 907 D (1976) 16 p.
- [38] Viti C., Frezzotti M.L., "Transmission electron microscopy applied to fluid inclusion investigations", Lithos 55(2001)125-138.
- [39] Zangeneh M., Boumeri M., Biabangard H., "Investigation of skarn formation using petrographic, mineral chemistry and fluid inclusion data, south west of Khaf, (southeast of Razavi Khorasan Province)", Iranian Journal of Crystallography and Mineralogy, 1(2017) 35-48.
- [40] Potter R.W., Clyne M.A., Brown D.L., "Freezing Point Depression of Aqueous Sodium Chloride Solution", Economic Geology, 73 (1978) 284-285.
- [41] Shepherd T., Rankin A.H., Alderton D.H.M., "A Practical Guide to Fluid Inclusion Studies", Blackie, London (1985) 239p.
- [20] Chappell B.W., White A.J.R., "Two contrasting granite types", Pacific Geology, 8(1974) 173-174.
- [21] Meinert L.D., "Compositional variation of igneous rocks associated with skarn deposits, Chemical evidence for genetic connection between petrogenesis and mineralization", in Thompson, J.F.H., ed, Magmas, fluids, and ore deposits, Min. Assoc. Can. Short Course Series, 23(1995) 401-418.
- [22] Haynes D.W., Cross K.C., Bills R.T., Reed M.H., "Olympic Dam ore genesis: a fluid mixing model", Econ. Geol, 90(1995) 281-307.
- [23] Moore M., Deymar S., Taghipour B., "Geochemistry of Rare Earth Elements and mineral chemistry of garnet in Darreh Zerreshk skarns (southwest of Yazd)", Iranian Journal of Crystallography and Mineralogy, 3(2013) 431-444.
- [24] Duan S., Zhang Z., Jiang Z., Zhao J., Zhang Y., Li F., Tian J., "Geology, geochemistry, and geochronology of the Dunde iron-zinc ore deposit in western Tianshan, China", Ore Geology Reviews, 57(2014) 441-461.
- [25] Pons J.M., Franchini M., "Iron skarns of the Vegas Peladas district, Mendoza, Argentina", Economic Geology, 104(2009) 157-184.
- [26] Lingang X., Jingwen M., Fuquan Y., Hennig D., Jianmin Z., "Geology, geochemistry and age constraints on the Mengku skarn iron deposit in Xinjiang Altai, NW China", Journal of Asian Earth Sciences, 39(2010) 423-440.
- [27] Pearce J.A., Can J.R., "Tectonic setting of basic volcanic rocks determined using trace elements analysis", Earth Planetary Science, (1973) 290 – 300.
- [28] Floyd P.A., Winchester J.A., "Magma type and tectonic setting discrimination using immobile elements", Earth Plan. Sci. Let, 27(1975) 211-218.
- [29] Wilson M., "Igneous petrogenesis", Unwin Hyman, London, (1989).
- [30] Zanetti A., Mazzucchelli M., Rivalenti G., Vannucci R., "The Finero phlogopite-peridotite massif: an example of subduction-related

Conditions of Dardvey Iron Skarn Based on Mineralogy and Fluid Inclusion Evidences, Sangan Area (Khorasan Razavi)", Scientific quarterly journal of geosciences, 82 (2011) 139-150.

[47] Drummond S.E., Ohmoto H., "Chemical evolution and mineral deposition in boiling hydrothermal systems", Economic Geology, 80 (1985) 126–147.

[48] Haas J.L., "The Effect of Salinity on the Maximum Thermal Gradient of a Hydrothermal System at Hydrostatic Pressure", Economic Geology, 66(1971) 940-946.

[49] Ahmad S.N., Rose A.W., "Fluid Inclusions in Porphyry and Skarn Ore at Santa Rita, New Mexico", Economic Geology, 75(1980) 229-250.

[50] Kendy G.C., "Pneumatolysis and the liquid inclusion method of geologic thermometry", Economic Geology 45 (1950) 533-547.

[42] Zhang Y.G., Frantz j. D., "Determination of homogenization temperatures and densities of supercritical fluids in the system NaCl-KCl-CaCl₂-H₂O using synthetic fluid inclusions" ,Chemical Geology, 64(1987) 335-350.

[43] Wilkinson J.J., "Fluid inclusions in hydrothermal ore deposits", Lithos 55 (2001) 229-272.

[44] Barnes H.L., "Geochemistry of Hydrothermal Ore Deposits", John Wiley, New York (1979).

[45] Zareie R., Zamanian H., Pazouki A., Barani N., Zaal F., "Mineral chemistry and temperature condition investigations of the Sarvian Iron ore deposit (Markazi province, Delijan city)", Iranian Journal of Crystallography and Mineralogy, 3(2016) 435-448.

[46] Tale fazel E., Mehrabi B., Khakzad A., Kianpour R., "Stages and Mineralization